

FIG. 1

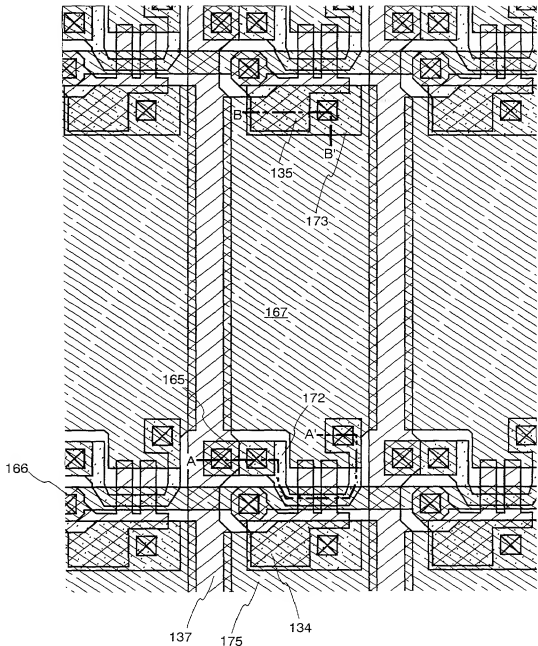


FIG. 2A

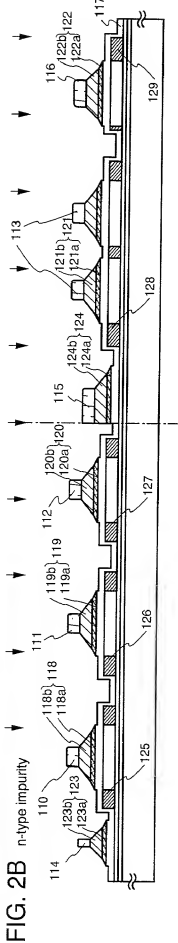
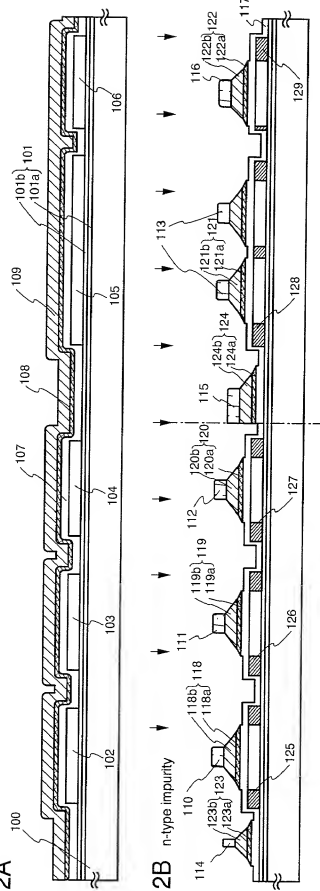


FIG. 2C

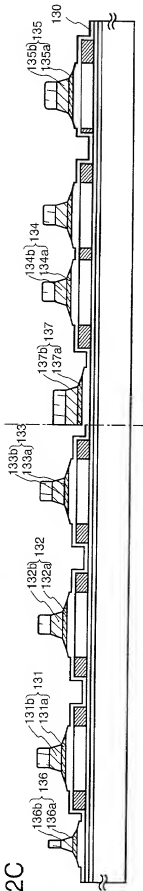


FIG. 3A n-type impurity

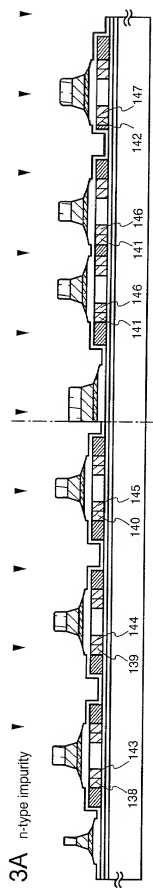


FIG. 3B p-type impurity

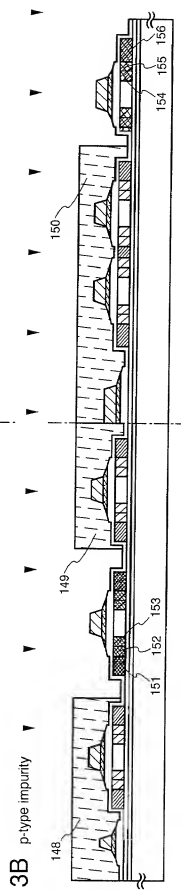


FIG. 3C

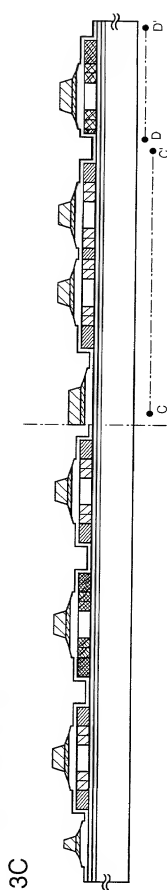


FIG. 4

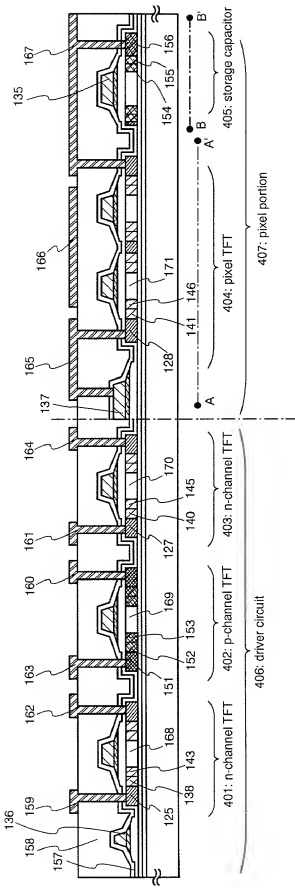


FIG. 5

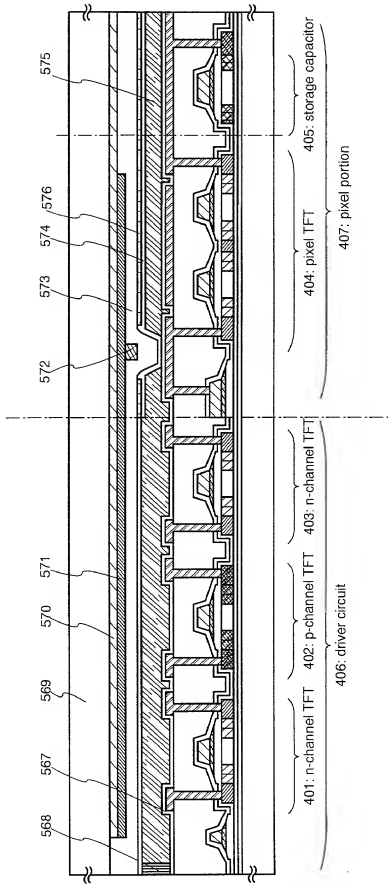


FIG. 6

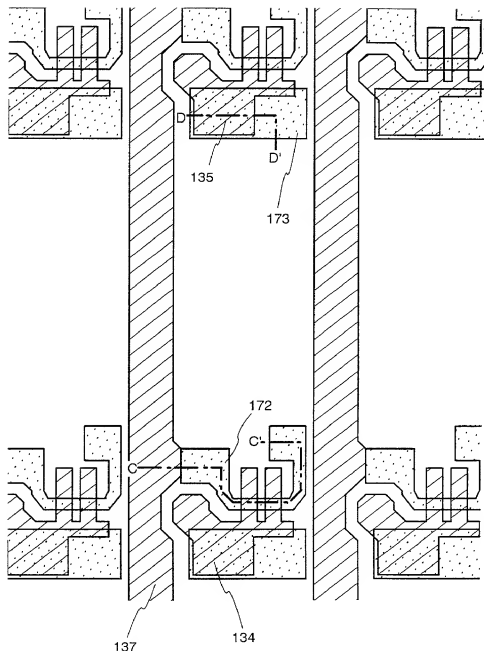


FIG. 6B-2000-04254760

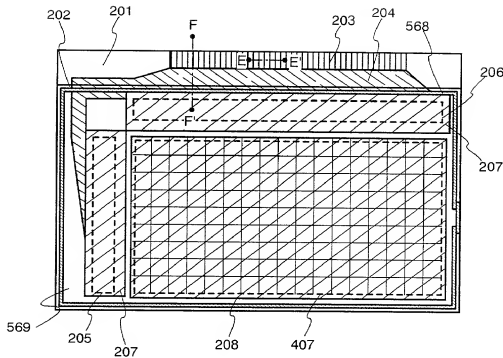


FIG. 7A top view

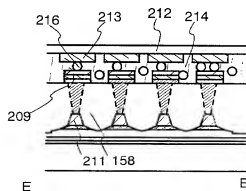


FIG. 7B cross sectional view of E-E'

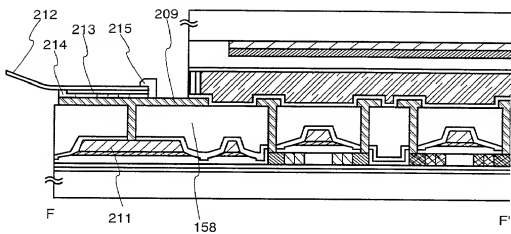


FIG. 8A cross sectional view of F-F'

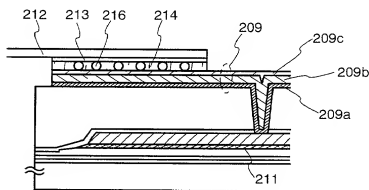


FIG. 8B

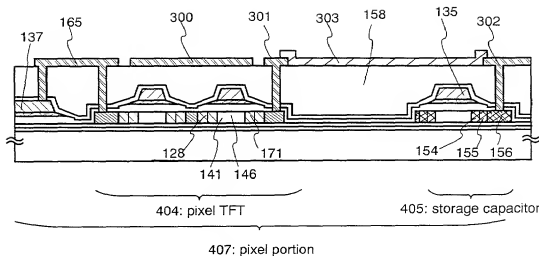


FIG. 9A

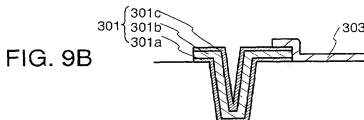


FIG. 9B

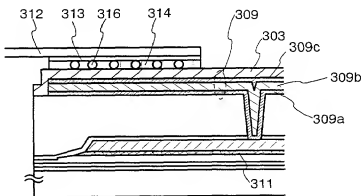


FIG. 9C

FIG. 10

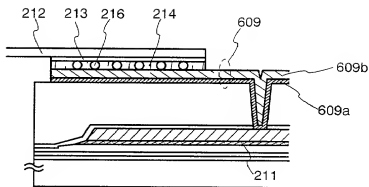


FIG. 11

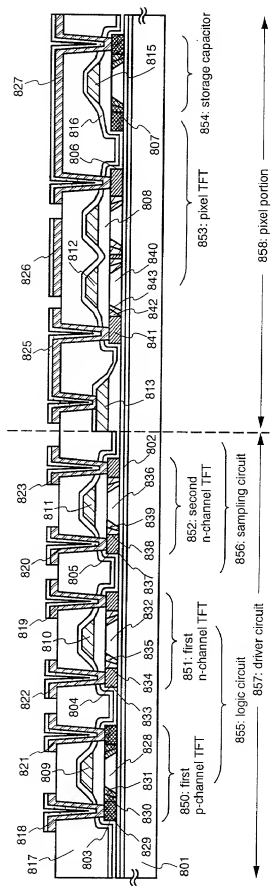


FIG. 12

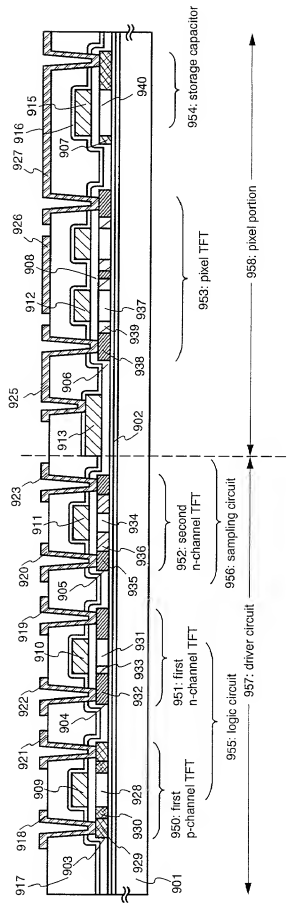
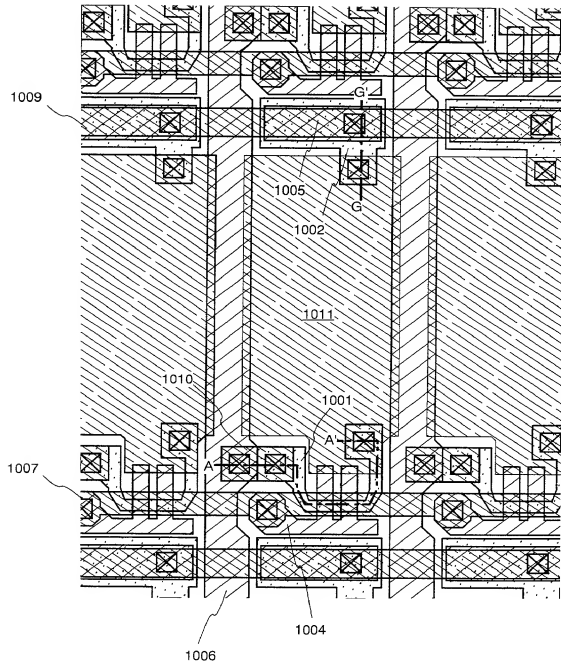


FIG. 13



1009  
1007  
1006  
1004  
1005  
1002  
1011  
1001  
1010  
A  
G

FIG. 14

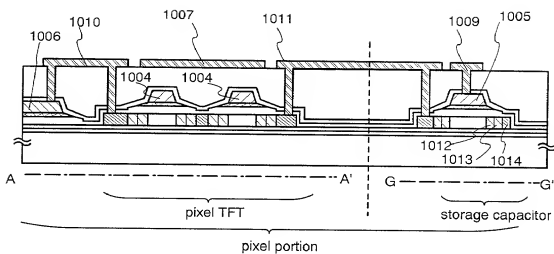


FIG. 15

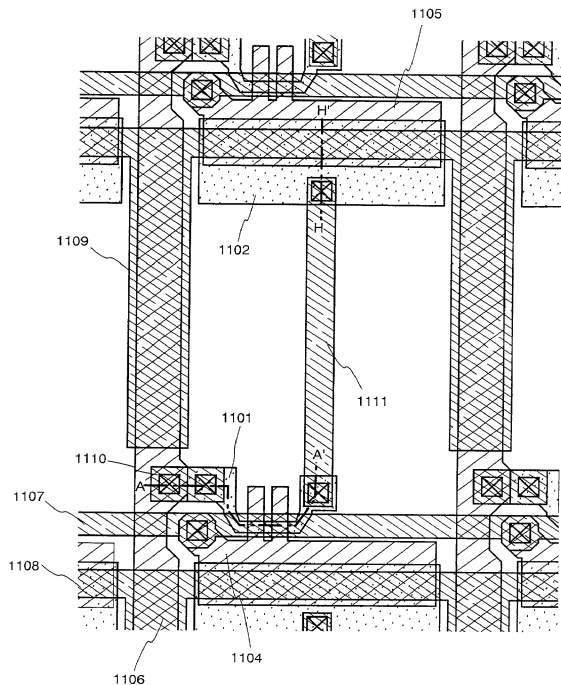


FIG. 16

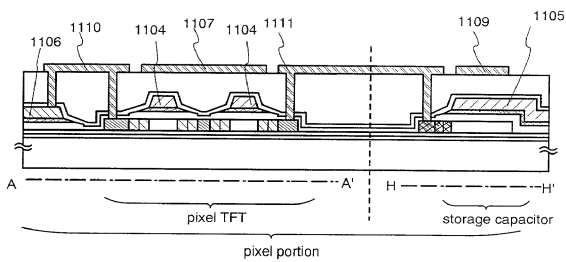


FIG. 17

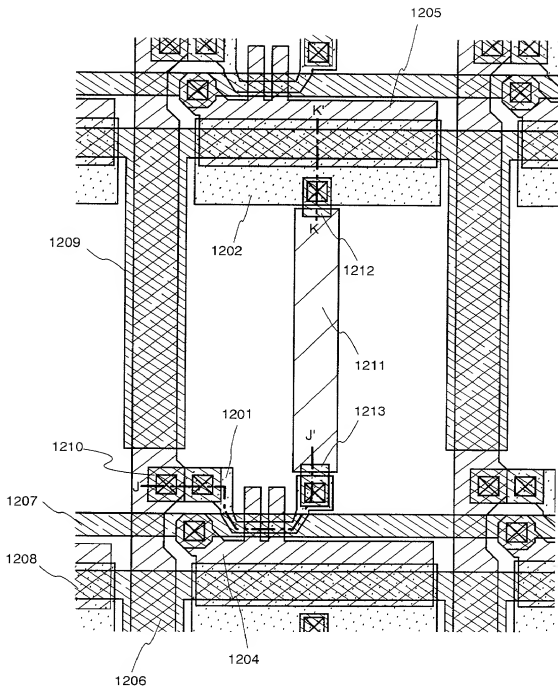


FIG. 18

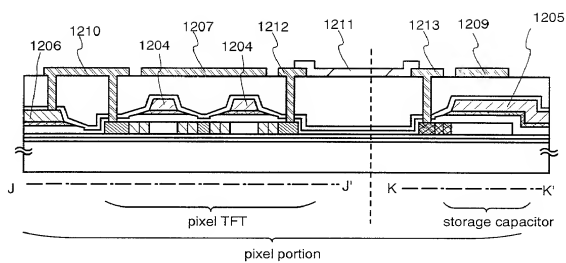
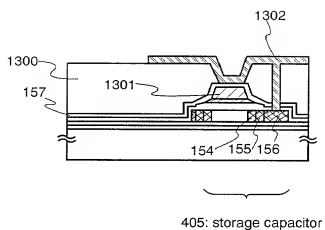


FIG. 19



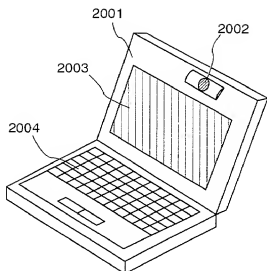


FIG. 20A

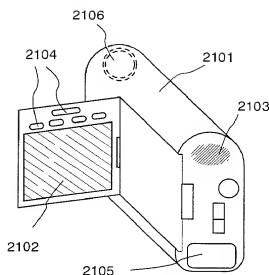


FIG. 20B

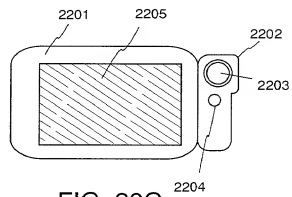


FIG. 20C

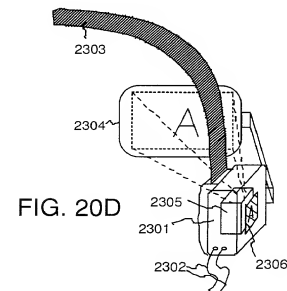


FIG. 20D

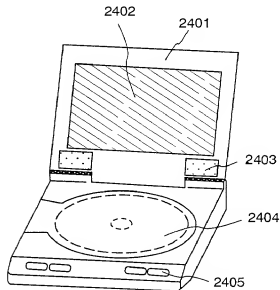


FIG. 20E

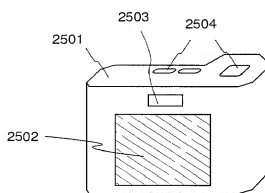


FIG. 20F

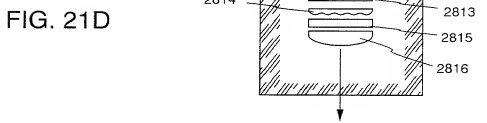
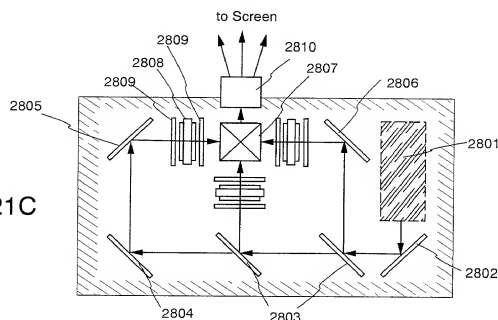
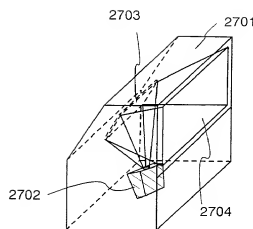
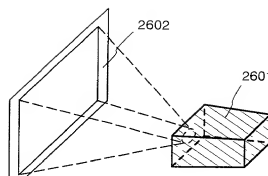


FIG. 22A

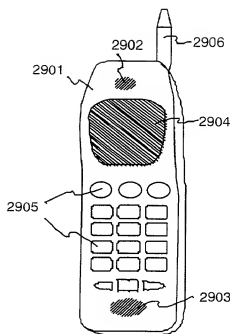


FIG. 22B

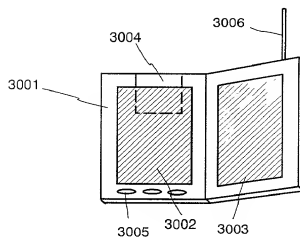


FIG. 22C

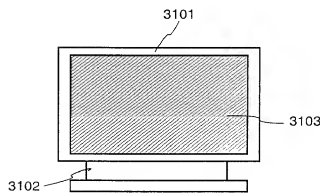
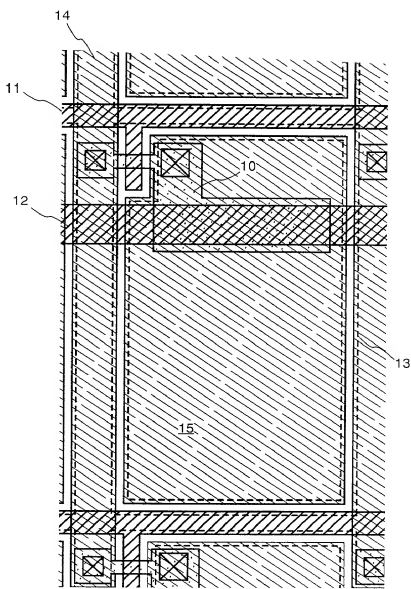


FIG. 23 prior art



202001150260

FIG. 24A

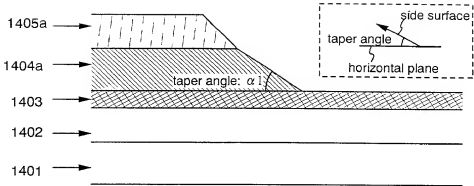


FIG. 24B

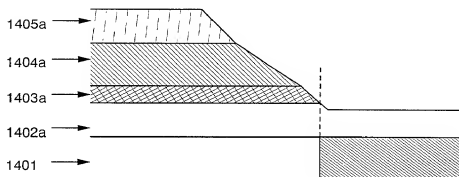


FIG. 24C

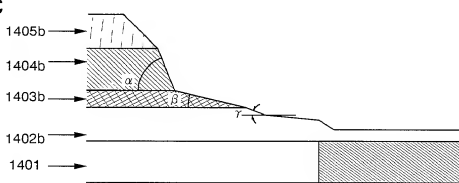


FIG. 24D

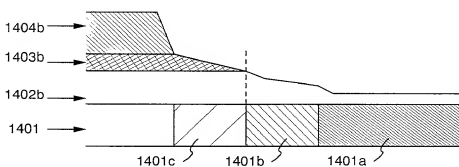
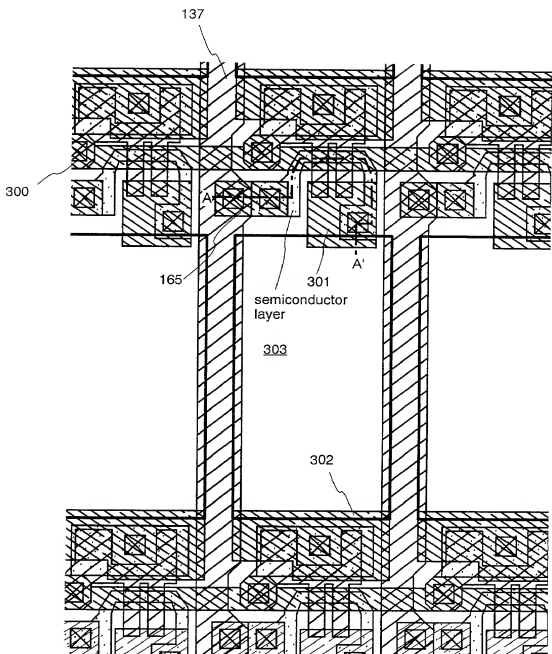


FIG. 25



卷之三